

Autoencodeurs

Pour le débruitage

Bontemps Hadrien

Guéganno Gabriel

Fauvel Hugo



Plan

- I. Principes des autoencodeurs
 - I. Philosophie des autoencodeurs
 - II. Architecture et fonction objectif
 - III. Réduction du bruit par denoising autoencodeur (DAE)
- II. Méthode
 - I. Base de données
 - II. Pré-traitement des données
 - III. Architectures du réseau de neurone
- III. Résultats
 - I. Résultats en fonction du bruit
 - II. Interprétation
- IV. Conclusion

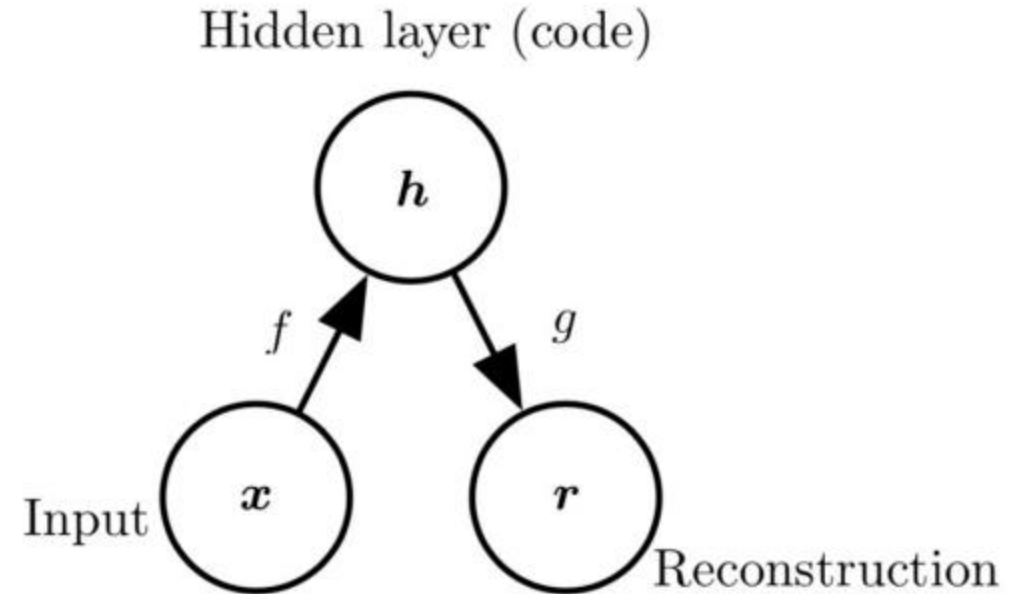
I - Principes des autoencodeurs

Autoencodeur

Objectif: Reconstruire la donnée initiale

Contrainte: Modifier l'espace de représentation en passant par au moins une couche cachée, souvent de taille inférieure aux données initiales

Non supervisé, il n'y a pas de label

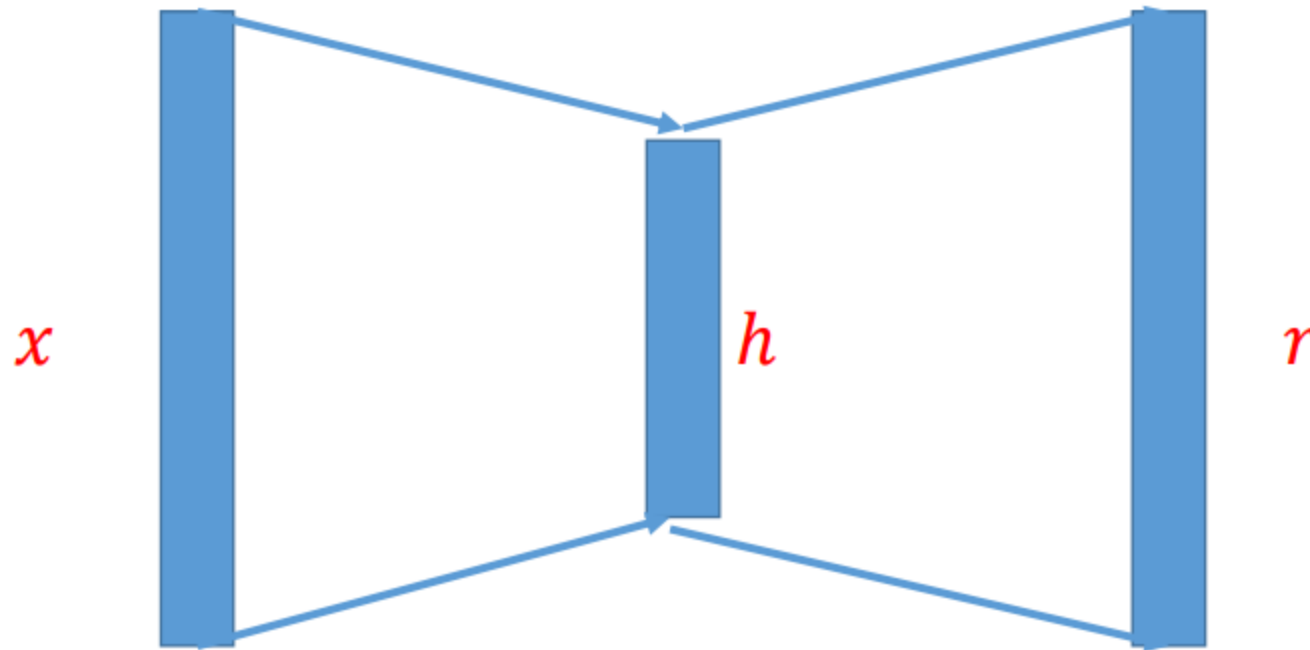


I - Principes des autoencodeurs

$$L(x, r) = L(x, g(f(x)))$$

La fonction objectif à minimiser, représentée par la fonction de perte, est la différence entre l'entrée et la sortie

$$L(\mathbf{x}, g(f(\mathbf{x})))$$



I - Principes des autoencodeurs

Familles d'autoencodeurs

- Sparse
- Denoising
- Variational
- Concrete
- ...

1986-1991

Mark A. Kramer, "Nonlinear Principal Component Analysis Using Autoassociative Neural Networks", MIT, Laboratory for Intelligent Systems in Process Engineering, 1991

2008

Pascal Vincent, Hugo Larochelle, Yoshua Bengio, and Pierre-Antoine Manzagol. Extracting and composing robust features with denoising autoencoders. In *Proceedings of the 25th International Conference on Machine Learning*, ICML '08, pages 1096–1103, New York, NY, USA, 2008

Applications

- Extraction de caractéristiques
- Réduction de la dimension
- Débruitage
- Segmentation
- ...

2015

Olaf Ronneberger, Philipp Fischer et Thomas Brox, « U-Net: Convolutional Networks for Biomedical Image Segmentation », *Medical Image Computing and Computer-Assisted Intervention – MICCAI 2015*, Springer International Publishing, 2015, p. 234–241

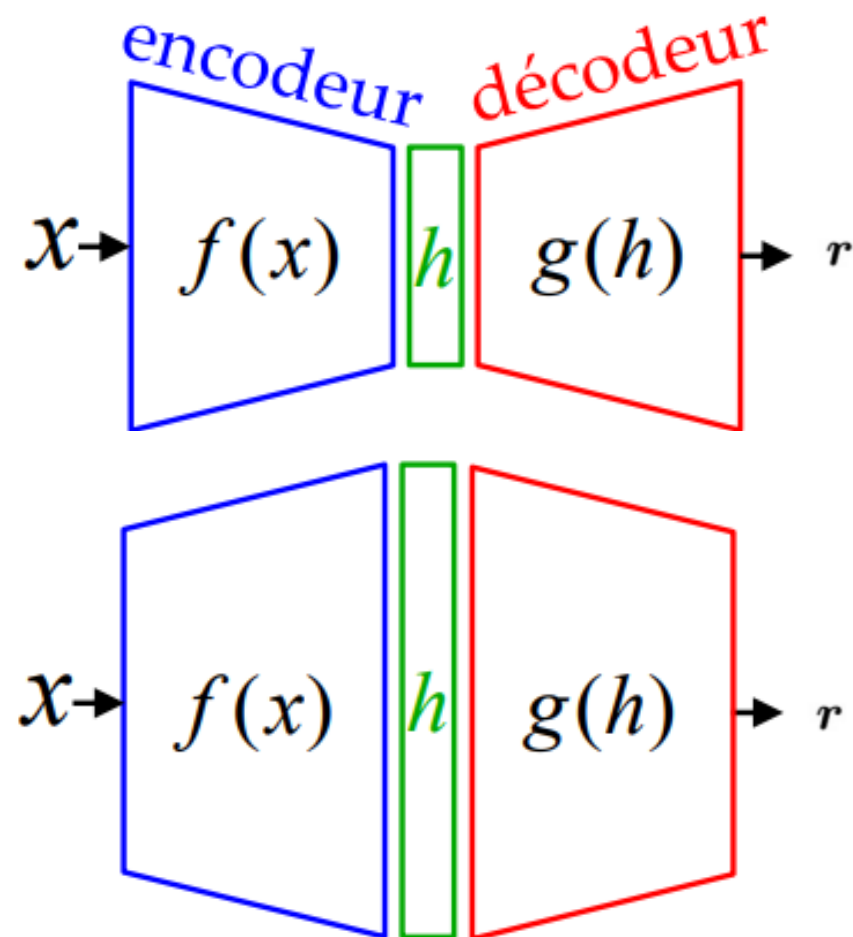
I - Principes des autoencodeurs

Sous-complet:

- Dimension de h inférieure à l'entrée
- Projection vers un espace de dimension plus petit
- Si f et g sont linéaires, comportement proche voir équivalent à une PCA
- Si f et g sont non-linéaires, la projection peut être plus "puissante"

Sur-complet:

- Dimension de h supérieure à l'entrée
- Recopie d'information
- Doit être régularisé



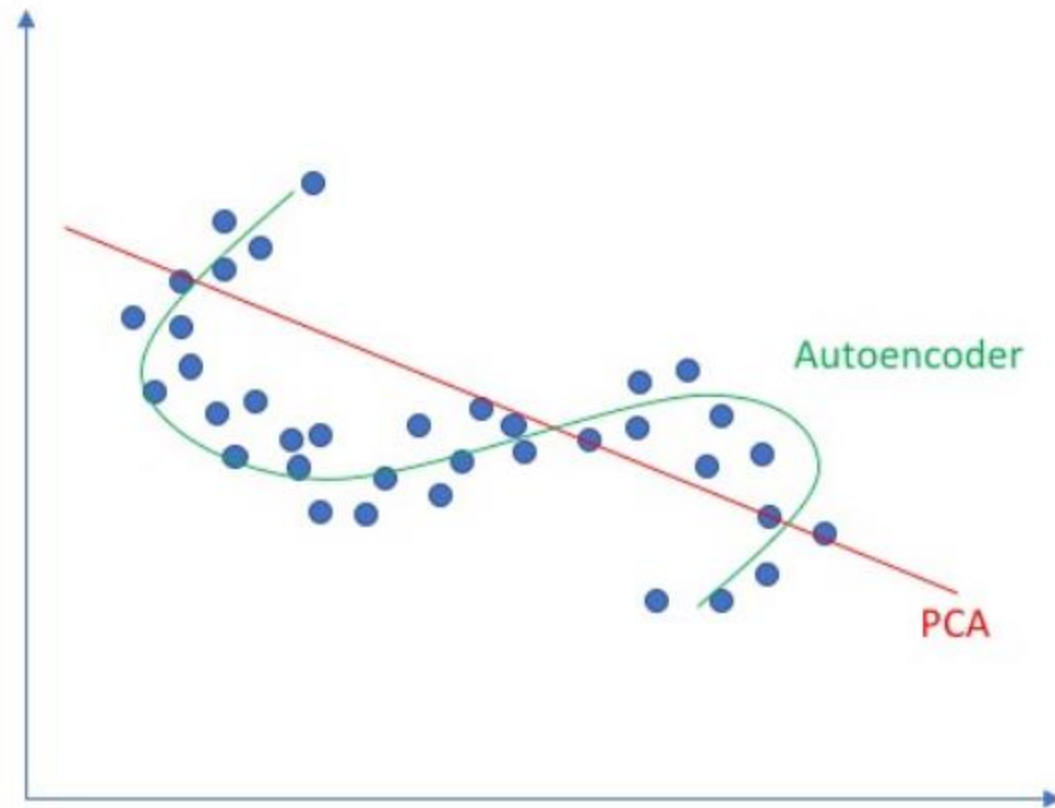
I - Principes des autoencodeurs

Propriété

Un autoencodeur est équivalent à une PCA si

- L'encodeur est linéaire
- Le décodeur est linéaire
- La loss est la mean square error
- Les données d'entrées sont normalisées

Linear vs nonlinear dimensionality reduction



I - Principes des autoencodeurs

Quelques risques

Si l'encodeur non-linéaire a un pouvoir séparateur très grand, une entrée I peut correspondre à un indice I dans la couche latente.

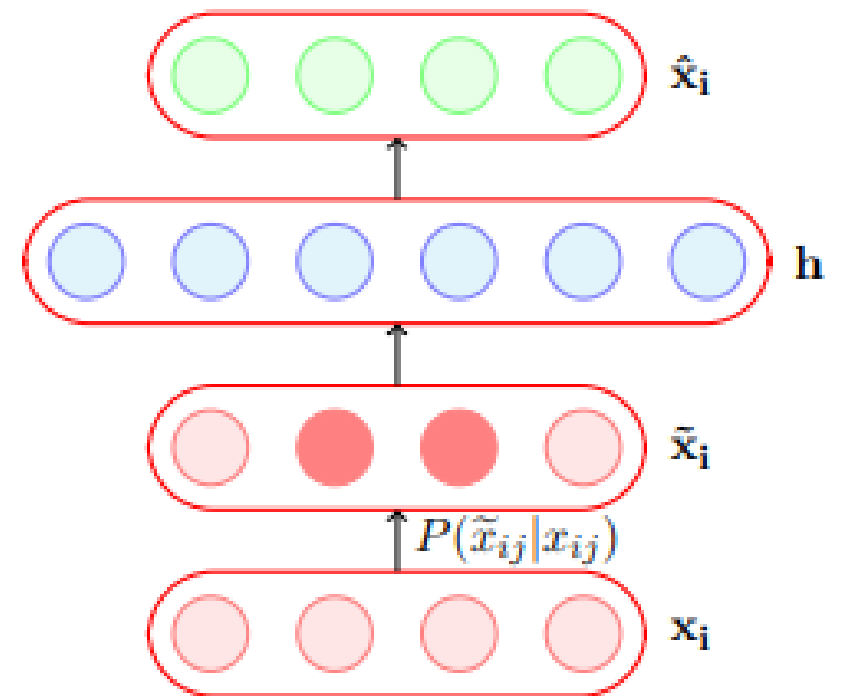
Un pré-entraînement *Greedy Layer-Wise* est conseillé afin d'éviter la disparition du gradient

Bengio, Y., Lamblin, P., Popovici, D., & Larochelle, H. (2007), "Greedy layer-wise training of deep networks. ", Advances in Neural Information Processing Systems 19 (pp. 153–160). MIT Press.

I - Principes des autoencodeurs

Dans un DAE, la fonction objective compare le signal reconstruit avec le signal non bruité.

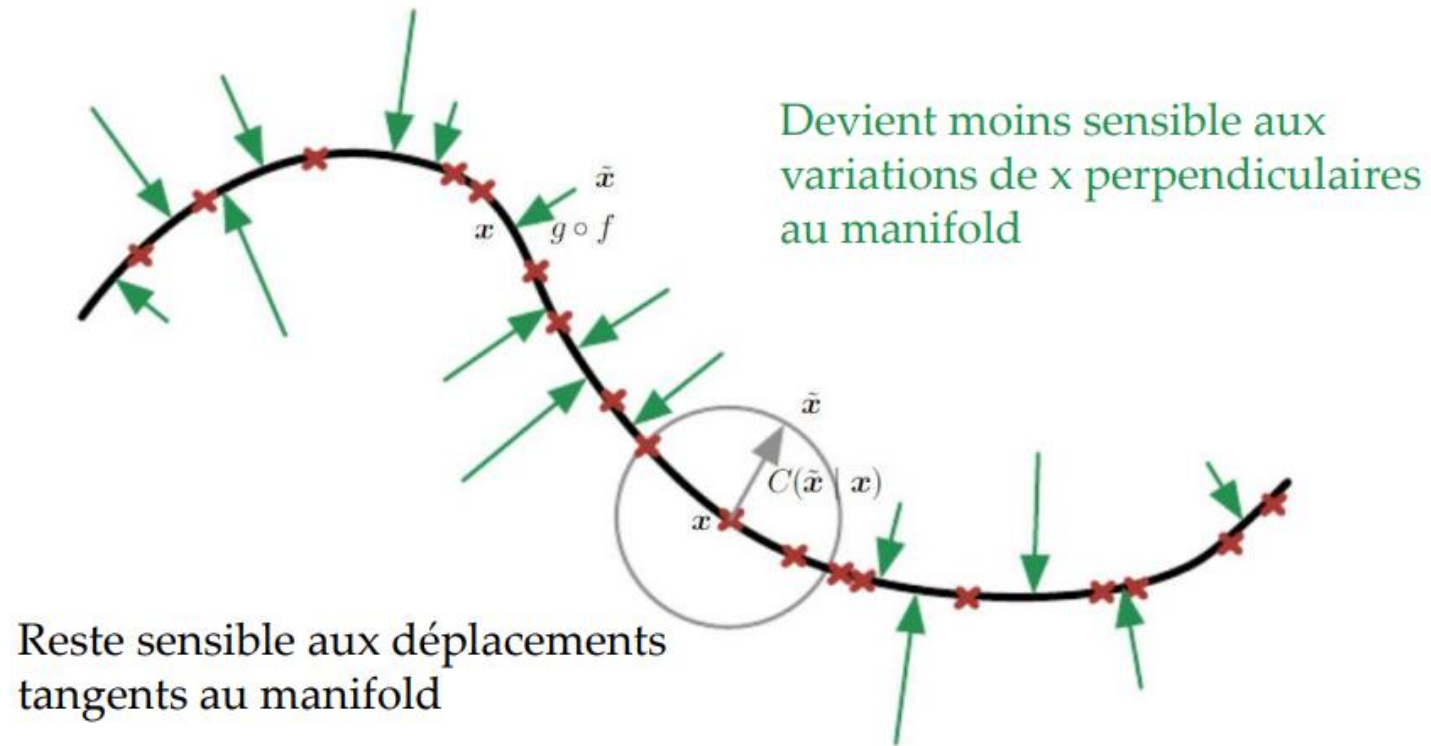
$$L(\mathbf{x}, g(f(\tilde{\mathbf{x}})))$$



Q. You, Y. J. Zhang, "A new training principle for stacked denoising autoencoders", in Seventh International Conference on Image and Graphics, Qingdao, 2013, pp 384-389 (sur des chiffres)

K. Wu, Z. Gao, C. Pen, X. Wen, "Text window denoising autoencoder: building deep architecture for Chinese word segmentation", Commun Comput Inf. Sci., 2013 (sur des sinogrammes)

I - Principes des autoencodeurs



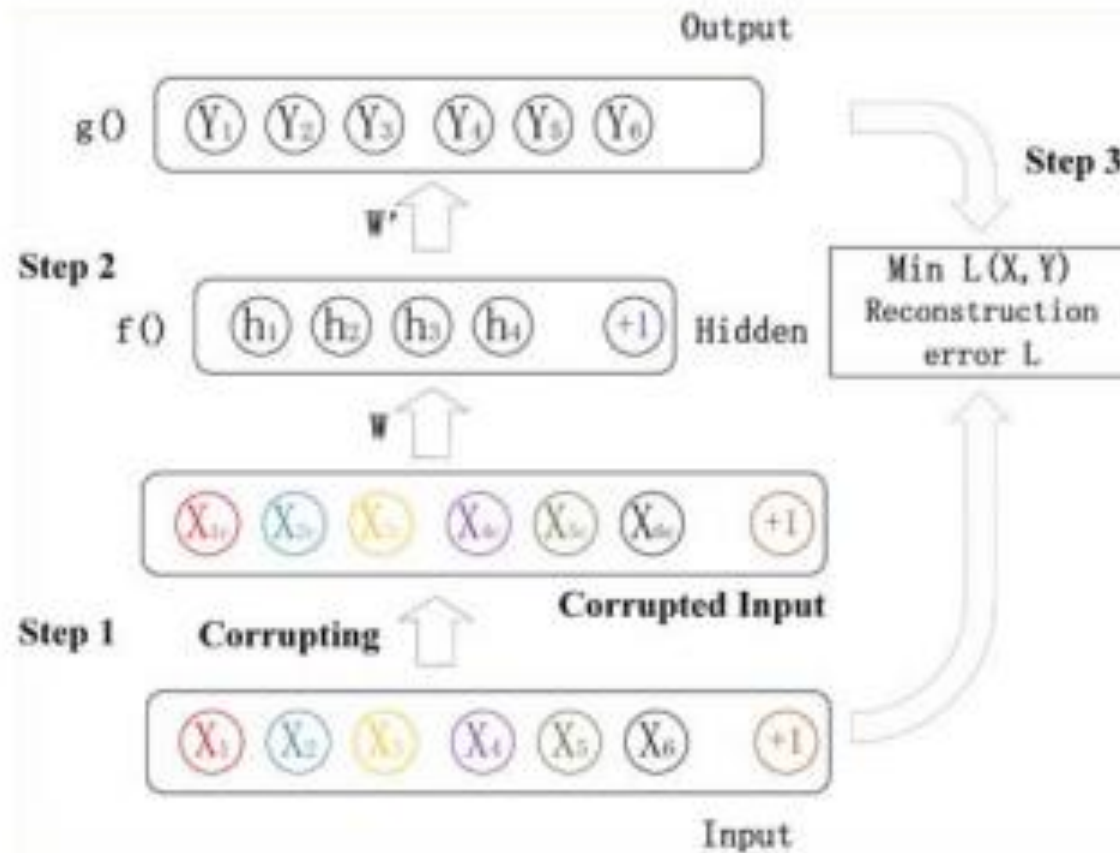
Extraire caractéristiques
par la corrélation entre
les signaux d'entrés

II - Méthode

Bases de données

| Nom | Signaux | MNIST | Sinogramme |
|----------|---------------------------------------------------|-------------------------------------------------------|------------------------------------------------------|
| Remarque | Signaux à une, deux ou trois fréquences | Chiffre de 0 à 9 | 15 sinogrammes |
| Taille | 4096x1 | 28x28 | 32x32 |
| Cardinal | Base d'apprentissage: 900 Base de test: 100 | Base d'apprentissage: 60000 Base de test: 10000 | Base d'apprentissage: 14000 Base de test: 1000 |

II - Méthode



$$SNR = 10 \log_{10} \frac{\sum_{x=1}^M \sum_{y=1}^N I(x, y)^2}{\sum_{x=1}^M \sum_{y=1}^N [I(x, y) - \hat{I}(x, y)]^2}$$

$$PSNR = 10 \log_{10} \frac{255^2}{MSE}$$

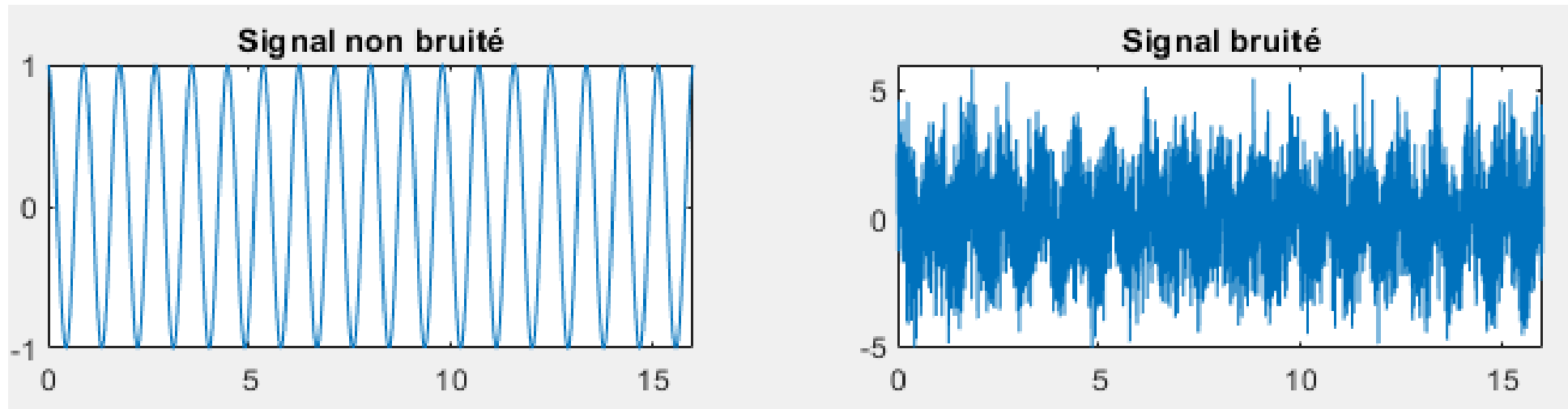
De M. Lingheng, D. Shifei, X. Yu, "Research on denoising sparse autoencoder", in International Journal of Machine Learning and Cybernetics, 2017.

II - Méthode

Débruitage de signaux

Objectif : Supprimer le bruit gaussien blanc d'un signal (1D)

Dataset : Signaux à une fréquence bruités et non bruités



II - Méthode

Débruitage de signaux

Deux types de réseaux testés :

Couches denses

Input : signal (1x4096)

Output : signal (1x4096)

| Layer (type) | Output Shape | Param # |
|-----------------------------|---------------|-----------|
| Linear-1 | [-1, 1, 1024] | 4,195,328 |
| ReLU-2 | [-1, 1, 1024] | 0 |
| Linear-3 | [-1, 1, 512] | 524,800 |
| ReLU-4 | [-1, 1, 512] | 0 |
| Linear-5 | [-1, 1, 256] | 131,328 |
| ReLU-6 | [-1, 1, 256] | 0 |
| Linear-7 | [-1, 1, 128] | 32,896 |
| ReLU-8 | [-1, 1, 128] | 0 |
| Linear-9 | [-1, 1, 256] | 33,024 |
| ReLU-10 | [-1, 1, 256] | 0 |
| Linear-11 | [-1, 1, 512] | 131,584 |
| ReLU-12 | [-1, 1, 512] | 0 |
| Linear-13 | [-1, 1, 1024] | 525,312 |
| ReLU-14 | [-1, 1, 1024] | 0 |
| Linear-15 | [-1, 1, 4096] | 4,198,400 |
| Sigmoid-16 | [-1, 1, 4096] | 0 |
| Total params: 9,772,672 | | |
| Trainable params: 9,772,672 | | |
| Non-trainable params: 0 | | |

Couches de convolution 1D + MaxPooling

| Layer (type) | Output Shape | Param # |
|--------------------------|-----------------|---------|
| Conv1d-1 | [-1, 128, 4096] | 512 |
| ReLU-2 | [-1, 128, 4096] | 0 |
| MaxPool1d-3 | [-1, 128, 2048] | 0 |
| Conv1d-4 | [-1, 64, 2048] | 24,640 |
| ReLU-5 | [-1, 64, 2048] | 0 |
| MaxPool1d-6 | [-1, 64, 1024] | 0 |
| Conv1d-7 | [-1, 32, 1024] | 6,176 |
| ReLU-8 | [-1, 32, 1024] | 0 |
| MaxPool1d-9 | [-1, 32, 512] | 0 |
| Conv1d-10 | [-1, 16, 512] | 1,552 |
| ReLU-11 | [-1, 16, 512] | 0 |
| ConvTranspose1d-12 | [-1, 32, 1024] | 1,568 |
| ReLU-13 | [-1, 32, 1024] | 0 |
| ConvTranspose1d-14 | [-1, 64, 2048] | 6,208 |
| ReLU-15 | [-1, 64, 2048] | 0 |
| ConvTranspose1d-16 | [-1, 128, 4096] | 24,704 |
| ReLU-17 | [-1, 128, 4096] | 0 |
| ConvTranspose1d-18 | [-1, 1, 4096] | 385 |
| Sigmoid-19 | [-1, 1, 4096] | 0 |
| Total params: 65,745 | | |
| Trainable params: 65,745 | | |
| Non-trainable params: 0 | | |

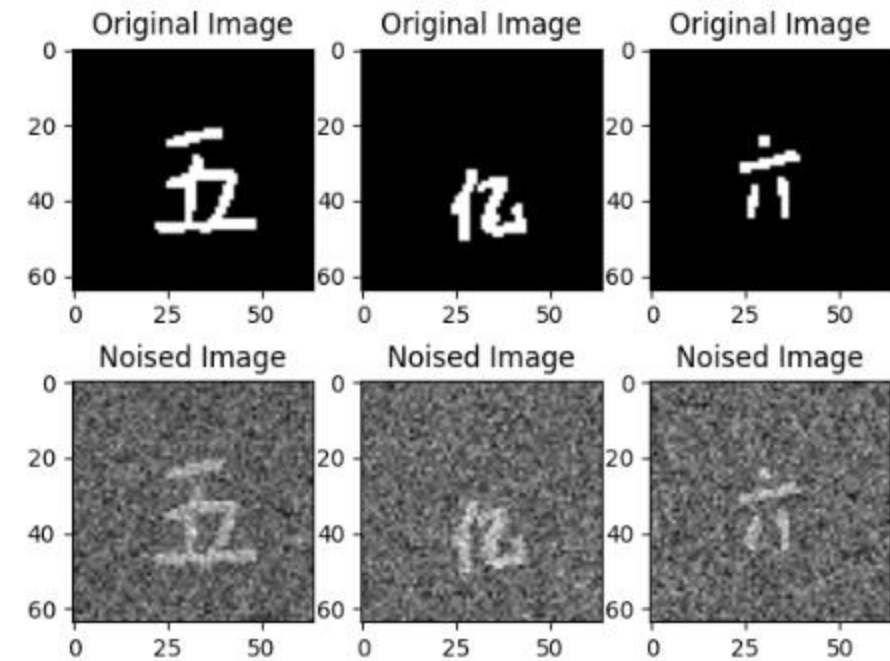
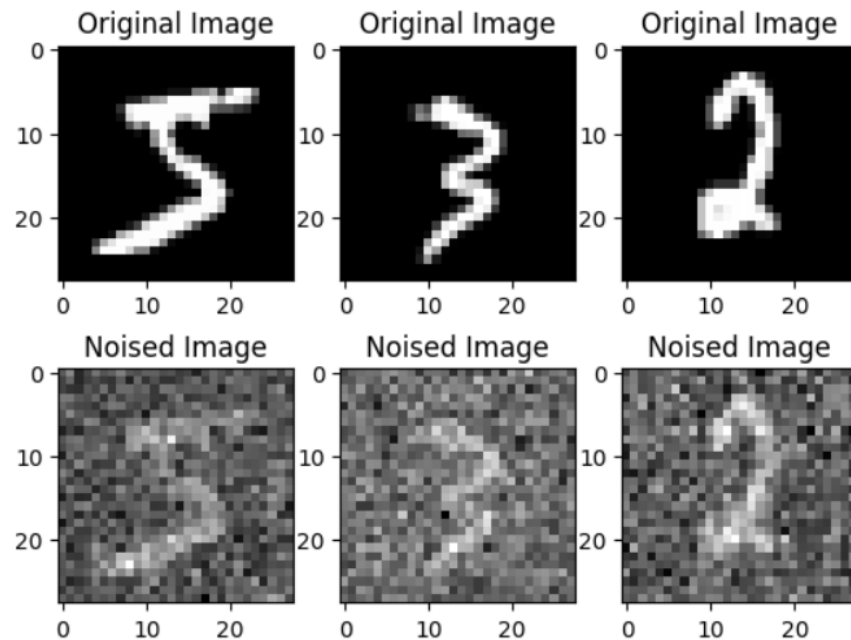
II - Méthode

Débruitage d'images

Objectif : Supprimer le bruit gaussien blanc d'une image (2D)

Dataset :

- base de données MNIST
- Base de données Sinogrammes



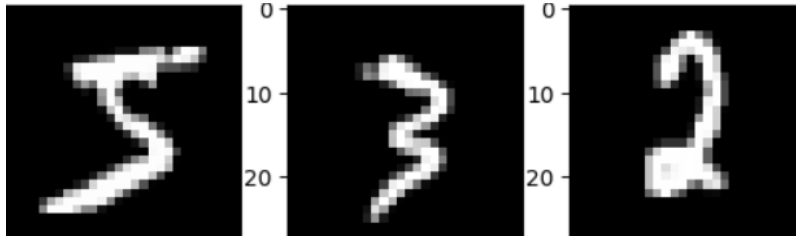
II - Méthode

Débruitage de la base de données MNIST

Un réseau à base de couches denses

Input : image aplatie (1x784)

Output : image aplatie (1x784)



| Layer (type) | Output Shape | Param # |
|---------------------------|--------------|---------|
| Linear-1 | [-1, 1, 256] | 200,960 |
| ReLU-2 | [-1, 1, 256] | 0 |
| Linear-3 | [-1, 1, 128] | 32,896 |
| ReLU-4 | [-1, 1, 128] | 0 |
| Linear-5 | [-1, 1, 64] | 8,256 |
| ReLU-6 | [-1, 1, 64] | 0 |
| Linear-7 | [-1, 1, 128] | 8,320 |
| ReLU-8 | [-1, 1, 128] | 0 |
| Linear-9 | [-1, 1, 256] | 33,024 |
| ReLU-10 | [-1, 1, 256] | 0 |
| Linear-11 | [-1, 1, 784] | 201,488 |
| Sigmoid-12 | [-1, 1, 784] | 0 |
| Total params: 484,944 | | |
| Trainable params: 484,944 | | |
| Non-trainable params: 0 | | |

II - Méthode

Input : image aplatie (1x1024)

Output : image aplatie (1x1024)

Débruitage de la base de données de sinogrammes



Un réseau à base de couches denses

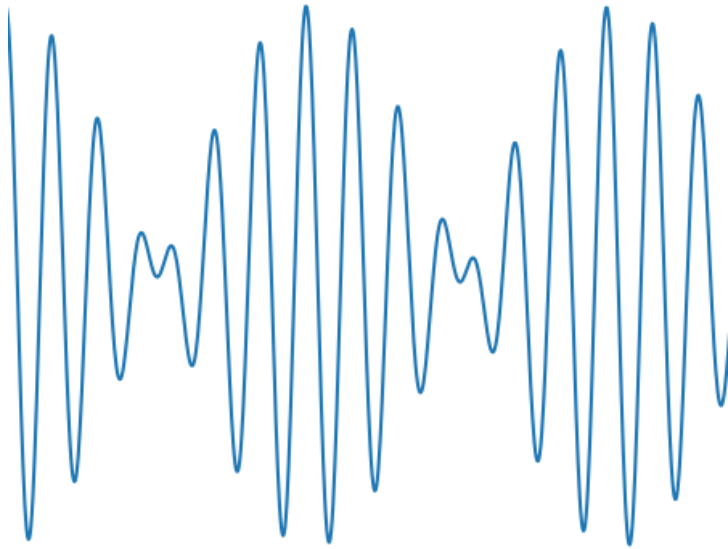
| Layer (type) | Output Shape | Param # |
|---------------------------|---------------|---------|
| Linear-1 | [-1, 1, 256] | 262,400 |
| ReLU-2 | [-1, 1, 256] | 0 |
| Linear-3 | [-1, 1, 128] | 32,896 |
| ReLU-4 | [-1, 1, 128] | 0 |
| Linear-5 | [-1, 1, 64] | 8,256 |
| ReLU-6 | [-1, 1, 64] | 0 |
| Linear-7 | [-1, 1, 128] | 8,320 |
| ReLU-8 | [-1, 1, 128] | 0 |
| Linear-9 | [-1, 1, 256] | 33,024 |
| ReLU-10 | [-1, 1, 256] | 0 |
| Linear-11 | [-1, 1, 1024] | 263,168 |
| Sigmoid-12 | [-1, 1, 1024] | 0 |
| Total params: 608,064 | | |
| Trainable params: 608,064 | | |
| Non-trainable params: 0 | | |

Un réseau à base de convolutions 1D

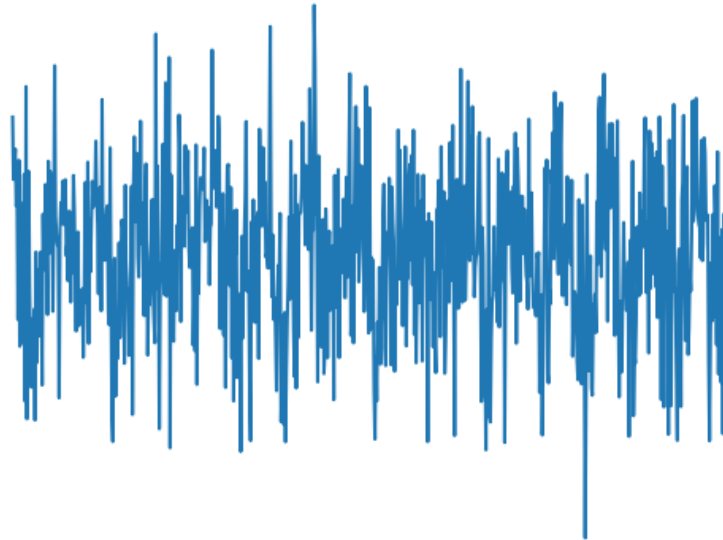
| Layer (type) | Output Shape | Param # |
|--------------------------|-----------------|---------|
| Conv1d-1 | [-1, 128, 1024] | 512 |
| ReLU-2 | [-1, 128, 1024] | 0 |
| MaxPool1d-3 | [-1, 128, 512] | 0 |
| Conv1d-4 | [-1, 64, 512] | 24,640 |
| ReLU-5 | [-1, 64, 512] | 0 |
| MaxPool1d-6 | [-1, 64, 256] | 0 |
| Conv1d-7 | [-1, 32, 256] | 6,176 |
| ReLU-8 | [-1, 32, 256] | 0 |
| MaxPool1d-9 | [-1, 32, 128] | 0 |
| Conv1d-10 | [-1, 16, 128] | 1,552 |
| ReLU-11 | [-1, 16, 128] | 0 |
| ConvTranspose1d-12 | [-1, 32, 256] | 1,568 |
| ReLU-13 | [-1, 32, 256] | 0 |
| ConvTranspose1d-14 | [-1, 64, 512] | 6,208 |
| ReLU-15 | [-1, 64, 512] | 0 |
| ConvTranspose1d-16 | [-1, 128, 1024] | 24,704 |
| ReLU-17 | [-1, 128, 1024] | 0 |
| ConvTranspose1d-18 | [-1, 1, 1024] | 385 |
| Sigmoid-19 | [-1, 1, 1024] | 0 |
| Total params: 65,745 | | |
| Trainable params: 65,745 | | |
| Non-trainable params: 0 | | |

III - Résultats

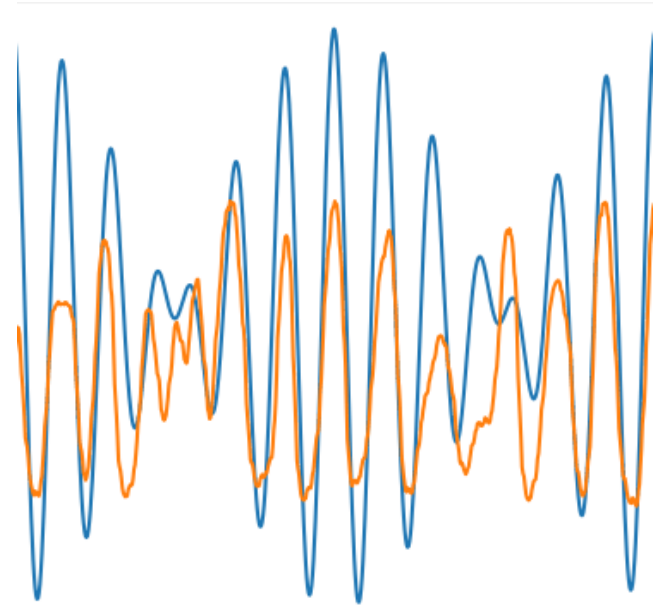
Signaux 1D



Signal initial (f_0 , f_1)



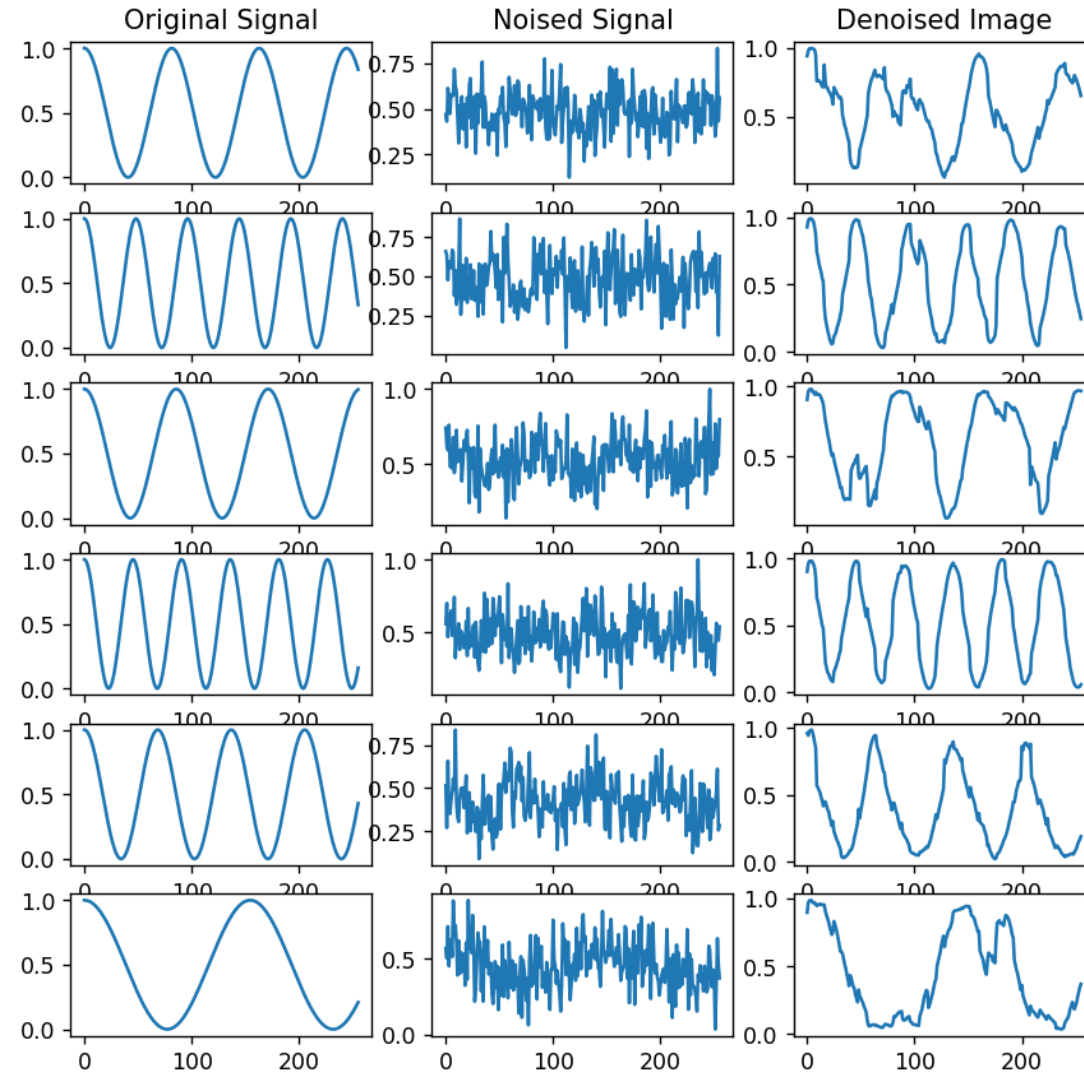
Signal bruité (awgn)



Signal débruité à
différentes EPOCH
de l'entraînement
(EPOCH 1 à 50)

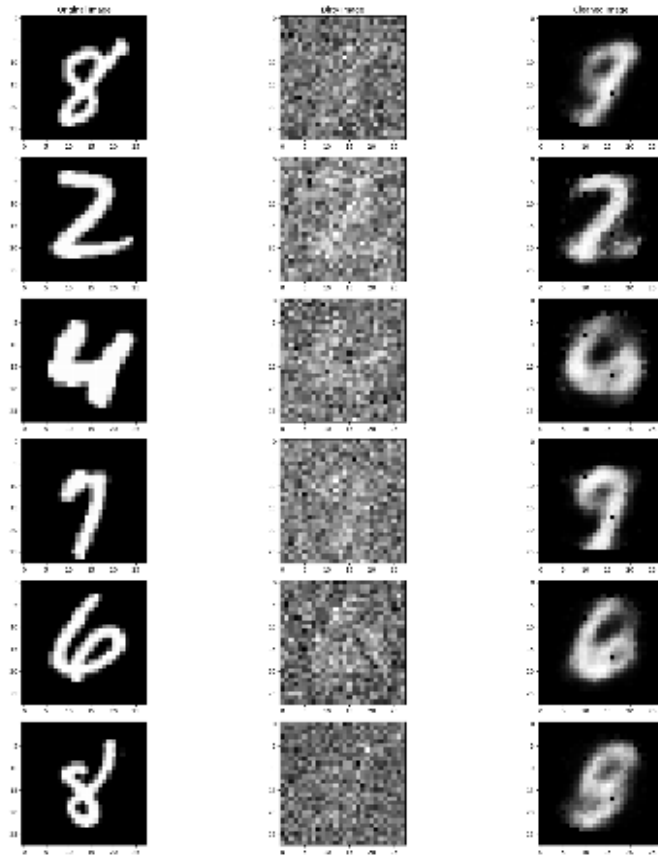
III - Résultats

Signaux 1D

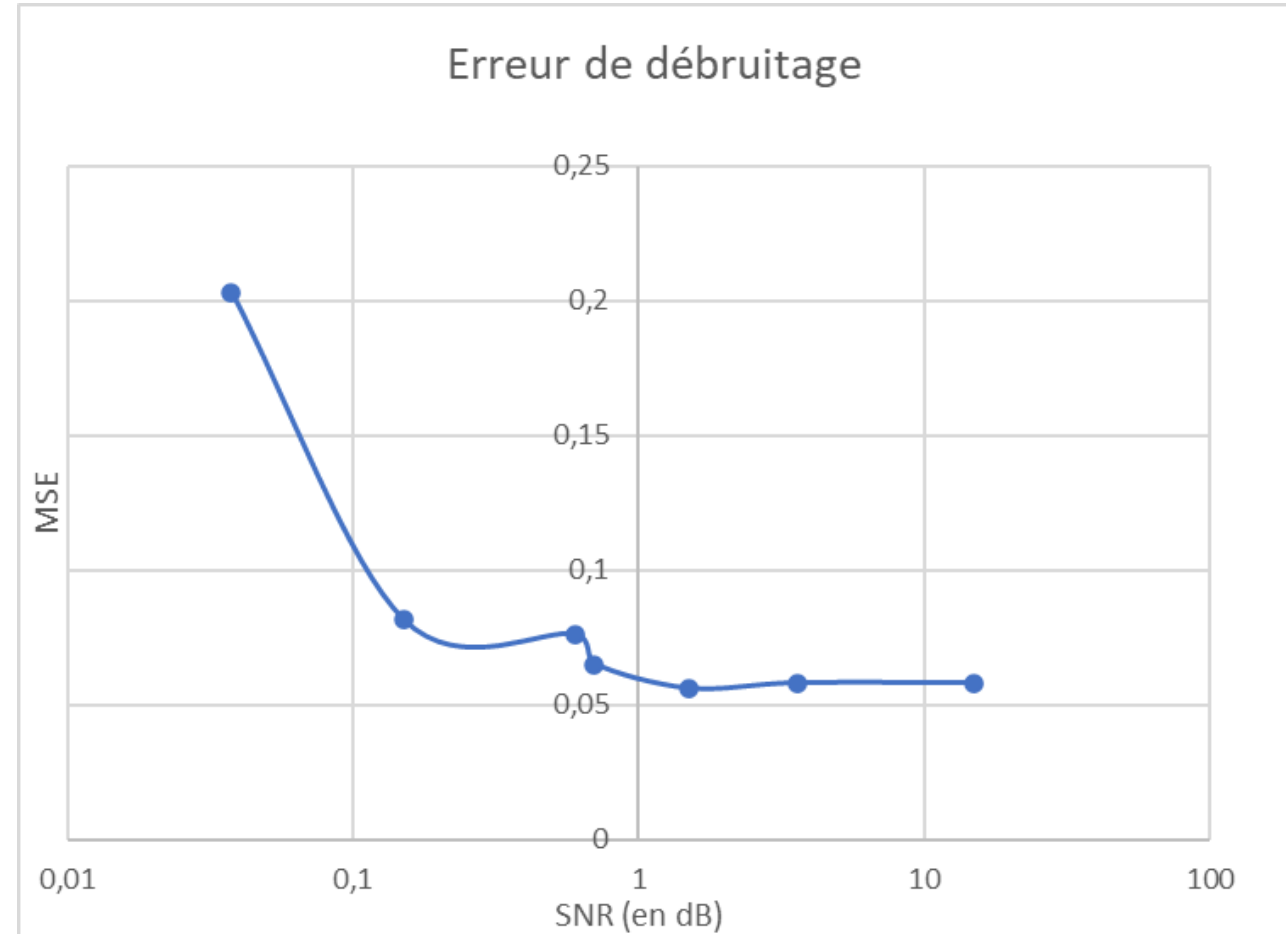


III - Résultats

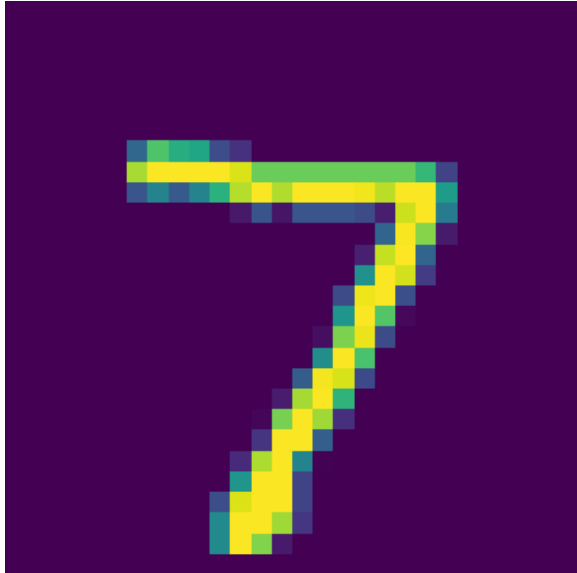
Chiffres manuscrits (MNIST)



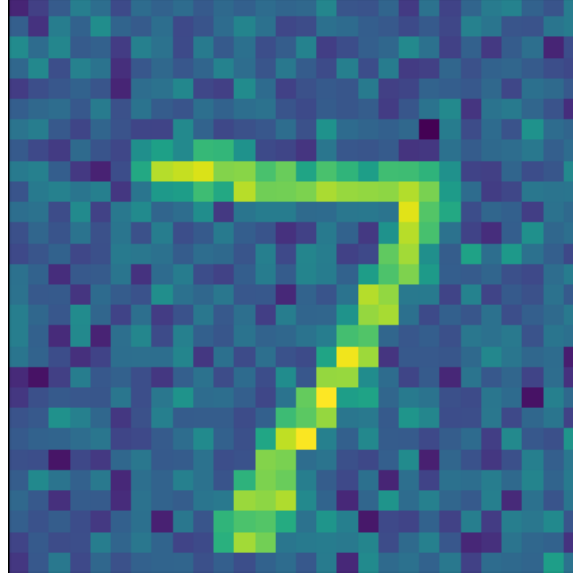
Reconstruction d'images
test pour un SNR de 0.15



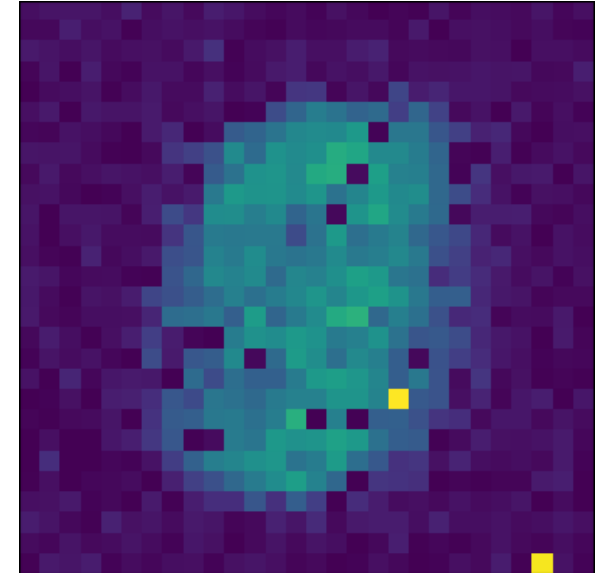
III - Résultats



Chiffre initial



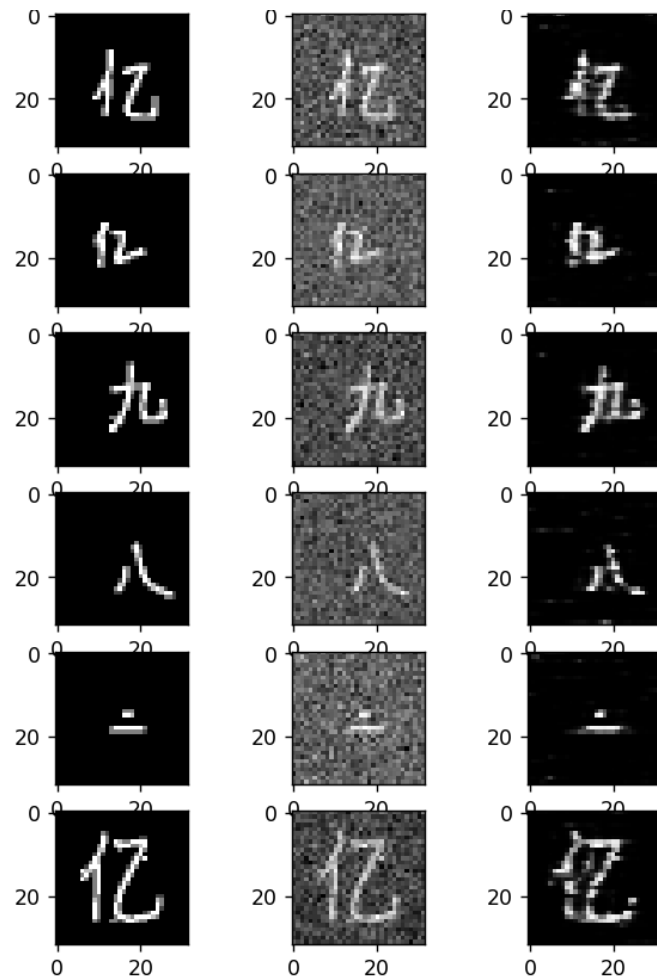
Chiffre bruité (awgn)



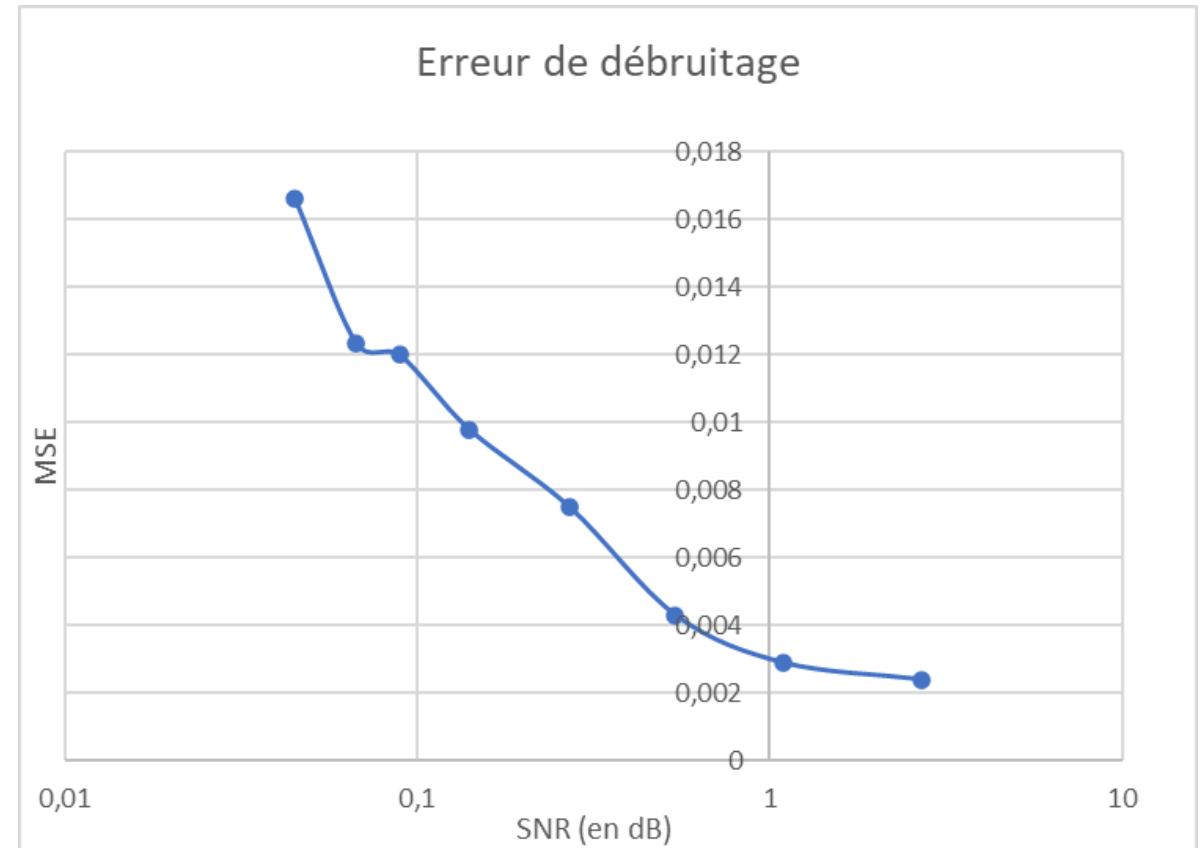
Chiffre débruité à
différentes EPOCH
de l'entraînement
(EPOCH 1 à 50)

III - Résultats

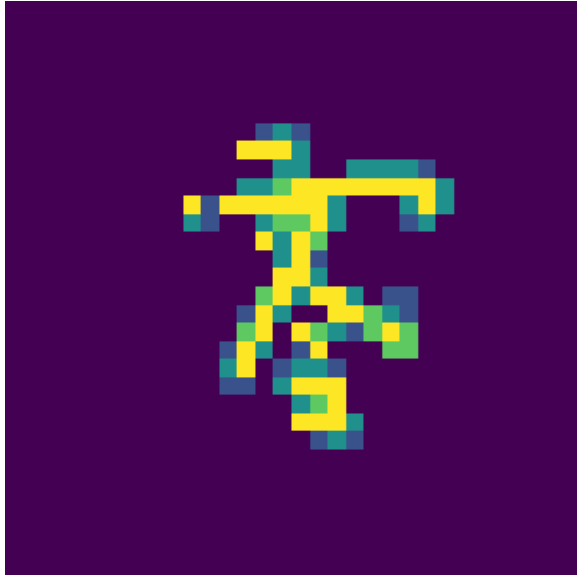
Sinogrammes



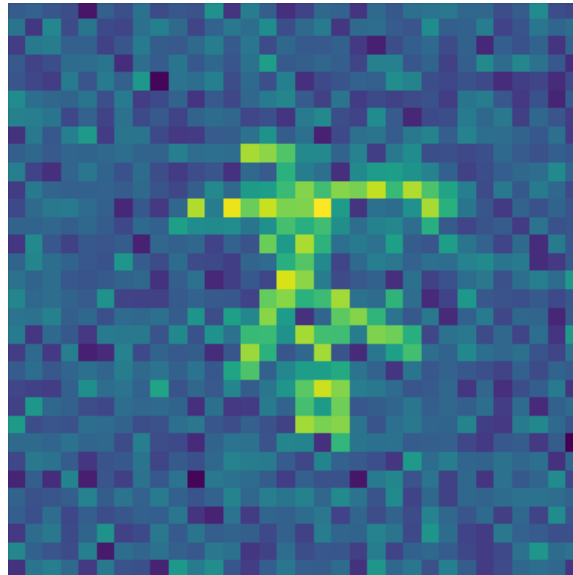
Reconstruction d'images
test pour un SNR de 0.25



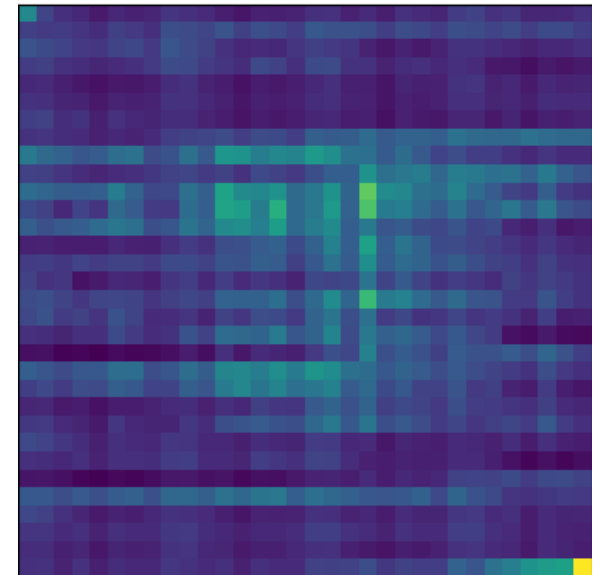
III - Résultats



Sinogramme initial



Sinogramme bruité (awgn)

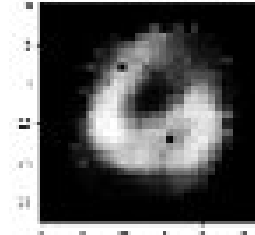
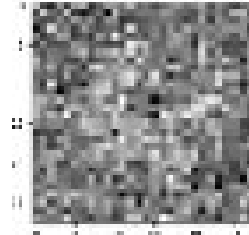
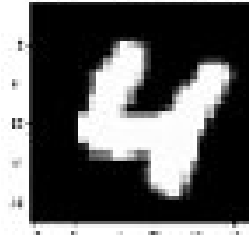


Sinogramme débruité à
différentes EPOCH de
l'entraînement
(EPOCH 1 à 50)

IV - Conclusion

Bilan:

- Autoencodeurs efficaces pour le débruitage de signaux simples et modérément bruités



(SNR = 0.15)

Limites:

- Temps de calcul
- La MSE ne permet pas de pénaliser un signal reconstruit différent du signal initial lorsque les deux signaux sont proches au sens des moindres carrés

Perspectives:

- Ajouter une branche de classification pour pénaliser un signal reconstruit proche d'un autre élément de la base ?